

Legende

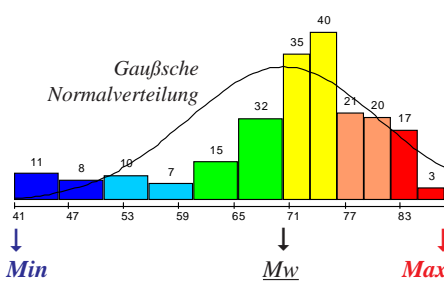
MMinMwMaxX 6-fach, nach $RIW_{55,k}$

- | | | | |
|-----|--|----------------------|----------|
| [1] | | $\geq 41,14 - 50,89$ | $n = 19$ |
| [2] | | $> 50,89 - 60,63$ | $n = 17$ |
| [3] | | $> 60,63 - 70,38$ | $n = 47$ |
| [4] | | $> 70,38 - 76,35$ | $n = 75$ |
| [5] | | $> 76,35 - 82,32$ | $n = 41$ |
| [6] | | $> 82,32 - 88,30$ | $n = 20$ |

Summe: 219

Histogramm der Ähnlichkeitsverteilung

MMinMwMaxX 12-fach, nach $RIW_{55,k}$



Prüfbezugs punkt *AD-I-P. 55*, Vermiglio, oberer Sulzberg (siehe **roter Pfeil**)
 Messmoment Relativer Identitätswert ($RIW_{55,k}$)
 Datenmatrix $N = 220$ Orte, $p = 4.020$ Arbeitskarten
 Intervallalgorithmus *MMinMwMaxX* mit 6 Intervallen (6 Farbstufen)
 Kreissymbole Kunstpunkte

Karte 44: Ähnlichkeitskarte zum *AD-I-P. 55*, Vermiglio, oberer Sulzberg (Gesamtcorpus)